

基于酰腙和菲咯啉配体的镉、铜配合物的水热合成、晶体结构和性质

陈延民 王景梅 陈飞鹏 陈雅心 曾倩茹 解庆范*

(泉州师范学院化学与生命科学学院,泉州 362000)

摘要: 合成了一种酰腙类[ONO]三齿 Schiff 碱 5-溴水杨醛缩噻吩-2-甲酰腙(H₂Brsth),并以菲咯啉(Phen)为第二配体通过水热反应制备了两种金属配合物[Cd₂(μ-Brsth)₂(Phen)₂] (**1**)和[Cu(Brsth)(Phen)] (**2**),经元素分析、红外光谱、紫外光谱、荧光光谱、热重分析和X射线单晶衍射分析对它们进行了表征。**1** 的晶体属单斜晶系,C2/c 空间群,晶胞参数 $a=2.116\ 36(13)\ \text{nm}$, $b=1.163\ 35(7)\ \text{nm}$, $c=1.872\ 43(12)\ \text{nm}$, $\beta=100.981(2)^\circ$, $V=4.525\ 6(5)\ \text{nm}^3$, $Z=4$; **2** 的晶体属三斜晶系,P1̄ 空间群,晶胞参数 $a=0.911\ 7(2)\ \text{nm}$, $b=1.089\ 4(3)\ \text{nm}$, $c=1.272\ 9(3)\ \text{nm}$, $\alpha=64.923(4)^\circ$, $\beta=82.006(5)^\circ$, $\gamma=67.768(5)^\circ$, $V=1.059\ 6(5)\ \text{nm}^3$, $Z=2$ 。**1** 是一种双核配合物,Cd(II)的配位环境为畸变的八体构型;**2** 是一种单核配合物,Cu(II)则处于四方锥配位环境。配合物**1**在443 nm 激发光作用下可发射很强的绿色荧光,最大发射波长 525 nm,而配体的荧光发射峰则位于 475 nm。

关键词: 配合物; 席夫碱; 晶体结构; 水热合成

中图分类号: O614.24²; O614.121 文献标识码: A 文章编号: 1001-4861(2016)03-0434-07

DOI: 10.11862/CJIC.2016.043

Hydrothermal Syntheses, Crystal Structures and Properties of Cadmium(II)/Copper(II) Complexes with Acylhydrazone and Phenanthroline Ligands

CHEN Yan-Min WANG Jing-Mei CHEN Fei-Peng CHEN Ya-Xin ZENG Qian-Ru XIE Qing-Fan*

(College of Chemistry and Life Science, Quanzhou Normal University, Quanzhou, Fujian 362000, China)

Abstract: Newly designed [ONO] tridentate hydrazone Schiff base ligand H₂Brsth, derived from the condensation of 5-bromosalicylaldehyde and thiophene-2-formyl hydrazine, hydrothermally reacted with metal acetates and phenanthroline as co-ligand yielding two complexes [Cd₂(μ-Brsth)₂(Phen)₂] (**1**) and [Cu(Brsth)(Phen)] (**2**), which were characterized by elemental analyses, FT-IR, electronic spectra, fluorescence spectra, TGA and single crystal X-ray diffraction. The X-ray diffraction analyses reveal that complex **1** crystallizes in monoclinic space group C2/c with $a=2.116\ 36(13)\ \text{nm}$, $b=1.163\ 35(7)\ \text{nm}$, $c=1.872\ 43(12)\ \text{nm}$, $\beta=100.981(2)^\circ$, $V=4.525\ 6(5)\ \text{nm}^3$ and $Z=4$, while **2** crystallizes in the triclinic space group P1̄ with $a=0.911\ 7(2)\ \text{nm}$, $b=1.089\ 4(3)\ \text{nm}$, $c=1.272\ 9(3)\ \text{nm}$, $\alpha=64.923(4)^\circ$, $\beta=82.006(5)^\circ$, $\gamma=67.768(5)^\circ$, $V=1.059\ 6(5)\ \text{nm}^3$ and $Z=2$. The complex **1** is a binuclear ternary complex, in which Cd atoms locate in distorted coordination octahedron. The complex **2** is a mononuclear ternary complex with Cu atom in distorted square pyramidal coordination. The complex **1** exhibits strong green fluorescence with emission maximum of 525 nm at the excitation wavelength of 443 nm, while the ligand shows emission at 475 nm. CCDC: 1062986, **1**; 1046224, **2**.

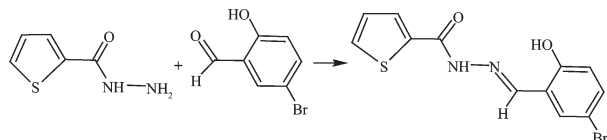
Keywords: complexes; Schiff base; crystal structure; hydrothermal synthesis

收稿日期:2015-09-23。收修改稿日期:2015-11-30。

泉州师范学院学科建设资金和福建省大学生创新创业训练计划项目(No.201510399025,201510399030)资助。

*通信联系人。E-mail:xqf360@163.com;会员登记号:S06N2113M1304(陈延民),S06N5449M1311(解庆范)。

Schiff碱是一类应用广泛的有机配体,被广泛用于非线性光学材料、催化剂和生物模拟等方面^[1-3]。酰腙则是一类特殊的Schiff碱,其中许多具有很好的生物活性,如抗氧化、抑菌、抗肿瘤等^[4-6]。酰腙具有结构多变和与金属配位方式丰富多样的特点,其配位方式不仅与酰腙分子结构和金属离子的电子构型有关,还与溶剂、介质的酸碱度、反电荷阴离子和反应温度等反应条件有关^[7-9]。在水热条件下往往可以改变反应物的反应性能,提高反应活性,有利于生长缺陷少的完美晶体,因此,水热合成法在功能材料和配合物等的制备方面发挥着独特的作用^[10-12]。作为研究工作的延续,本文制备了一种新的酰腙类Schiff碱(Scheme 1),采用水热法分别合成了镉和铜的配合物[Cd₂(μ-Brsth)₂(Phen)](1)和[Cu(Brsth)(Phen)](2),用元素分析、红外光谱、紫外光谱和X射线单晶衍射分析进行了表征,同时分析了它们的热稳定性和荧光性质。



Scheme 1

1 实验部分

1.1 仪器与试剂

Elmentar Vario EL 元素分析仪(德国);Nicolet公司is10型FT-IR红外光谱仪(美国);美普达UV-1800PC型紫外-可见分光光度计(上海);塞驰STA 409 PC型综合热分析仪(德国);Bruker Smart Apex CCD单晶衍射仪(德国);Varian CARY/Eclipse型荧光分光光度计(美国)。所用试剂均为分析纯,使用前未经处理。

1.2 合成方法

1.2.1 配体 H₂Brsth 的合成

将10 mmol 5-溴水杨醛溶于40 mL热的无水乙醇中,10 mmol 嘧吩-2-甲酰肼溶于30 mL无水乙醇,在搅拌下将二者混合,并滴入0.5 mL冰醋酸,然后加热搅拌回流3 h,析出大量黄色固体。冷却,抽滤,室温下用浓硫酸真空干燥备用。对C₁₂H₈BrN₂O₂S的元素分析,实测值(理论值),%:C 44.41(44.46),H 2.45(2.49),N 8.57(8.63)。IR(KBr, cm⁻¹): 3 202(NH), 1 623(C=O), 1 600(C=N), 1 584, 1 477(C=C); 1 320, 1 271(Ar-O); 963(N-N); 841, 733(Ar-H); 720(C-S); 629

(C-Br)。

1.2.2 配合物 1 的制备

将0.1 mmol 菲咯啉、0.1 mmol 的酰腙配体、0.1 mmol 乙酸镉和6 mL 甲醇和2 mL 蒸馏水置于内衬聚四氟乙烯不锈钢自动升压反应釜,在140 ℃下晶化2 d,冷却至室温,获得黄色块状晶体。对C₄₈H₃₀Br₂Cd₂N₈O₄S₂的元素分析,实测值(理论值),%:C 46.85(46.81),H 2.41(2.46),N 9.05(9.09)。IR(KBr, cm⁻¹): 1 609(C=N); 1 523, 1 503, 1 461, 1 426(C=C); 1278, 1 174(Ar-O); 946(N-N); 854, 812, 743, 727(Ar-H); 703(C-S); 640(C-Br)。

1.2.2 配合物 2 的制备

以乙酸铜代替乙酸镉,其他同上,获得蓝色针状晶体。对C₂₄H₁₅BrCuN₄O₂S的元素分析,实测值(理论值),%:C 50.88(50.85),H 2.61(2.67),N 9.85(9.88)。IR(KBr, cm⁻¹): 1 601(C=N); 1 589, 1 532, 1 503, 1 455, 1 433(C=C); 1 355, 1 178(Ar-O); 934(N-N); 845, 810, 730, 717(Ar-H); 707(C-S); 640(C-Br)。

1.3 晶体结构测试

分别选取0.37 mm×0.27 mm×0.19 mm(1)和0.15 mm×0.06 mm×0.03 mm(2)的单晶置于Bruker Smart Apex CCD单晶衍射仪上,用经石墨单色器单色化的Mo K α 射线($\lambda=0.071\text{073 nm}$)分别在3.13°<θ<25.01°(1)和1.77°<θ<28.74°(2)范围内以φ~ω扫描方式于291(2) K下收集单晶衍射数据。全部强度数据均经Lp因子校正,并进行了经验吸收校正,晶体结构由直接法解出,对全部非氢原子坐标及其各向异性热参数进行全矩阵最小二乘法修正,氢原子由理论加氢法得到。晶体中无序的部分参照文献^[13-14]处理。**1**和**2**的结构解析和精修采用SHELXTL^[15]和Olex 1.2程序包^[16]。晶体学数据详见表1。键长键角列于表2和3。

CCDC:1062986, **1**; 1046224, **2**。

2 结果与讨论

2.1 晶体结构

2.1.1 [Cd₂(μ-Brsth)₂(Phen)]₂的晶体结构

晶体结构分析表明,镉配合物**1**属单斜晶系,C/2c空间群。它由2个Cd²⁺、2个菲咯啉和2个酰腙配体组成,是一种具有C₂对称性的双核配合物(图1),Cd¹…Cd¹ⁱ间距0.335 9(9) nm。每个Cd²⁺的配位数为6,处于畸变的CdN₃O₃八面体配位环境,Cd-N和Cd-O键长为0.224 3(5)~0.234 6(5) nm,键角为

表1 配合物1和2的晶体学数据
Table 1 Crystallographic data for the compounds 1 and 2

Compound	1	2
Empirical formula	C ₄₈ H ₃₀ Br ₂ Cd ₂ N ₈ O ₄ S ₂	C ₂₄ H ₁₅ BrCuN ₄ O ₂ S
Formula weight	1 231.54	566.91
Crystal system	Monoclinic	Triclinic
Space group	C2/c	P <bar{1}< td=""></bar{1}<>
a / nm	2.116 36(13)	0.911 7(2)
b / nm	1.163 35(7)	1.089 4(3)
c / nm	1.872 43(12)	1.272 9(3)
α / (°)	90	64.923(4)
β / (°)	100.981(2)	82.006(5)
γ / (°)	90	67.769(5)
V / nm ³	2.471 6(7)	1.059 6(5)
Z	4	2
D _c / (g·cm ⁻³)	1.808	1.776 8
Absorption coefficient / mm ⁻¹	2.853	3.046
F(000)	2 416	566.6
Limiting indices (h, k, l)	-25~25, -13~13, -22~22	-11~12, -14~14, -16~16
Reflections collected	23 054	9 424
Independent reflections	4 001	5 500
Observed reflections (I>2σ(I))	3 052	3 654
Data, restraints, parameters	4 001, 62, 292	5 500, 0, 297
Goodness-of-fit on F ²	0.955	1.06
Final R indices (I>2σ(I))	0.087 9, 0.261 0	0.075 7, 0.170 5
R indices (all data)	0.103 2, 0.287 6	0.103 2, 0.187 1
(Δρ) _{max} , (Δρ) _{min} / (e·nm ⁻³)	2 886, -806	2 070, -1 410

表2 化合物1的主要键长及键角
Table 2 Selected bond lengths (nm) and bond angles (°) for 1

Cd1-N1	0.234 6(5)	Cd1-N2	0.233 0(5)	O1-C13 ⁱ	0.131 1(7)
Cd1-O2	0.225 4(4)	Cd1-N4	0.224 3(5)	O1-Cd1 ⁱ	0.233 5(4)
Cd1-O1 ⁱ	0.233 5(4)	Cd1···Cd1 ⁱ	0.335 9(9)	C13-N3	0.131 6(8)
Cd1-O1	0.233 2(4)	N3-N4	0.139 4(7)	C20-N4	0.130 0(8)
O1-Cd1-O2	150.7(2)	O2-Cd1-N1	101.0(2)	N1-Cd1-O1 ⁱ	146.3(2)
O1-Cd1-N1	86.6(2)	O2-Cd1-N2	97.9(2)	N1-Cd1-N4	108.7(2)
O1-Cd1-N2	111.3(2)	O2-Cd1-N4	72.3(2)	N2-Cd1-N4	170.1(2)
O1-Cd1-N4	78.4(2)	O2-Cd1-O1 ⁱ	104.3(2)	O1 ⁱ -Cd1-N2	83.7(2)
O1 ⁱ -Cd1-O1	82.2(2)	N1-Cd1-N2	70.9(2)	O1 ⁱ -Cd1-N4	100.1(2)

Symmetry code: ⁱ-x+1, y, -z+1/2

70.9(2)°~170.1(2)°。酰胺配体以烯醇式提供1个羰基O(C20-O2为0.131 1(7)nm,比典型的C=O长)、1个亚胺基N和1个酚羟基O与Cd²⁺配位,形成1个五元环和1个六元环,其中,酚羟基O以μ桥联方式同时与另一个Cd²⁺配位,从而构成双核结构。酰

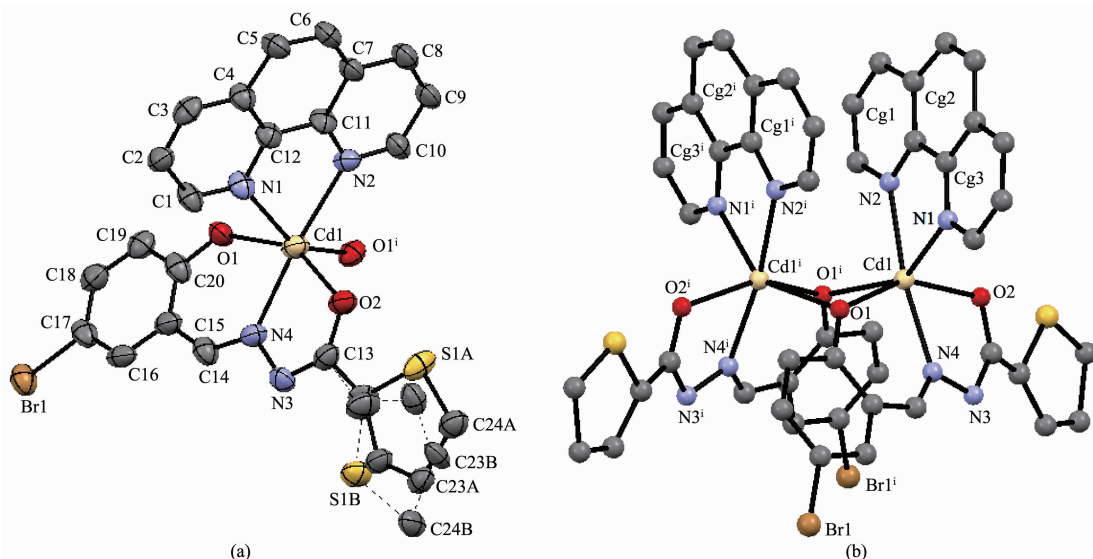
胺的噻吩环与苯环二面夹角24°,而扭转角O2-C13-N3-N4、N3-N4-C14-C15和N4-C14-C15-C20分别为5.9°、172.1°和2.0°,说明酰胺基与水杨基存在较强的共轭作用。

双核基元分子内2个菲咯啉的二面角为18°,

表3 2的主要键长及键角

Table 3 Selected bond lengths (nm) and bond angles ($^{\circ}$) for 2

Cu1-N4	0.192 7(5)	Cu1-O2	0.192 9(4)	Cu1-O1	0.199 0(4)
Cu1-N2	0.230 4(6)	Cu1-N1	0.203 0(5)	N3-N4	0.138 5(7)
O1-C20	0.129 0(7)	O2-C13	0.128 9(8)	N4-C19	0.128 6(8)
N4-Cu1-O2	93.0(2)	N1-Cu1-O2	92.5(2)	N2-Cu1-O6	91.7(2)
O1-Cu1-O2	166.7(2)	N1-Cu1-N4	172.1(2)	N2-Cu1-N4	108.3(2)
O1-Cu1-N4	80.6(2)	N1-Cu1-O1	92.8(2)	N2-Cu1-O1	74.8(3)
C19-C18-C13-O2	-2(1)	C13-C18-C19-N4	2(1)	N3-N4-C19-C18	-174.7(6)
C20-N5-N4-C19	179.6(6)	N4-N3-C20-O1	0.4(9)	S1-C21-C20-O1	-175.9(5)



H atoms were omitted for clarity; Symmetry code: $i-x+1, y, -z+1/2$

图1 配合物1的分子结构图

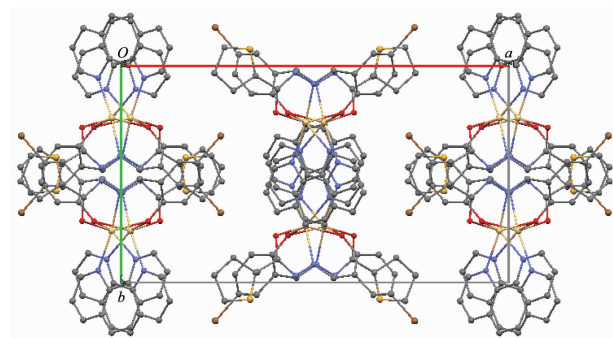
Fig.1 Molecular structure of 1: (a) asymmetric unit at the 50% probability; (b) dinuclear structure

$Cg1 \cdots Cg2^i$ (Symmetry code: $i-x+1, y, -z+1/2$)质心间距 0.388 5 nm (其中 $Cg1$ 由 $C7C8C9C10N2C11$ 构成, $Cg2$ 由 $C4C5C6C7C11C12$ 构成), 说明二者的 $\pi\cdots\pi$ 相互作用较弱。而双核基元分子间相邻的 Phen 相互

平行, 存在较强的 $\pi\cdots\pi$ 相互作用, $Cg2 \cdots Cg3^{ii}$ ($Cg3$ 由 $C1C2C3C4C12N1$ 构成, Symmetry code: $i-1-x, 1-y, 1-z$)质心间距 0.364 4 nm, 垂直距离 0.340 8 nm, 芳环的这种堆积作用将双核基元沿 c 轴方向扩展为一维链(图 3a)。分子间次级键 $C-H\cdots O$ 增加了一维链的稳定性, $C3-H3\cdots O2^{ii}$ 键长 0.243 4 nm。而一维链间噻吩环与菲咯啉之间的边对面作用($C23-H23A \cdots Cg1^{iii}$ 键长 0.308 2 nm)(图 3b), 将配合物扩展为三维超分子化合物(图 2)。

2.1.2 $[\text{Cu}(\text{Brsth})(\text{Phen})]$ 的晶体结构

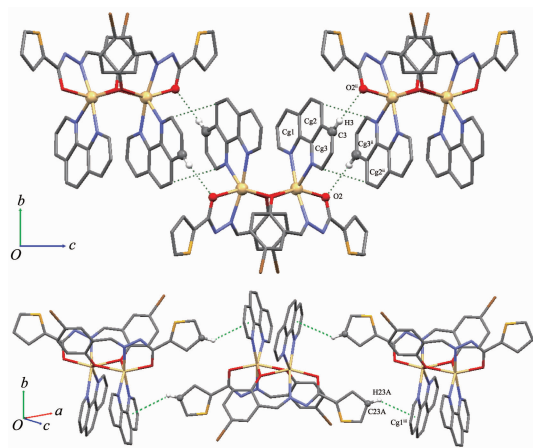
铜配合物晶体 2 属三斜晶系, $P\bar{1}$ 空间群。它是一种单核配合物(图 4), 由 1 个中心离子 Cu^{2+} 、1 个菲咯和 1 个烯醇式的酰腙配体组成。 Cu^{2+} 的配位数为 5, 与配位子形成畸变的 CuN_3O_2 四方锥配位几何构型, 酰腙与中心金属离子配位形成近似平面的五



H atoms were omitted for clarity

图2 配合物1沿a轴方向的堆积

Fig.2 Packing diagram of complex 1 along the a axis



H atoms were omitted for clarity; In (a): $\text{Cg}2 \cdots \text{Cg}3^{\text{ii}}$: 0.364 4 nm;
 $\text{C}3\text{-H}3 \cdots \text{O}2^{\text{ii}}$: 0.244 0 nm, 144°; Symmetry code: ⁱⁱ $1-x, 1-y, 1-z$; In (b): $\text{C}23\text{-H}23\text{A} \cdots \text{Cg}1^{\text{iii}}$: 0.308 2 nm, 140°; Symmetry code:
ⁱⁱⁱ $1.5-x, 0.5-y, 1-z$

图3 配合物1中分子间弱的相互作用

Fig.3 Weak intermolecular interaction in 1

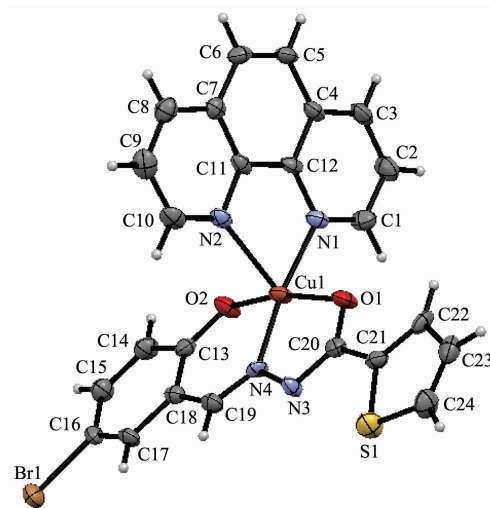
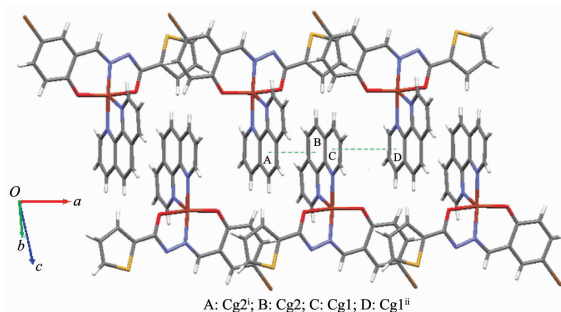


图4 配合物2的分子结构(椭球率50%)

Fig.4 Molecular structure of 2 at 50% probability

元环和六元环。O1、O2、N1 和 N4 位于锥底组成四边形, Cu-O 键长为 0.192 9(4)~0.199 0(4) nm, Cu-N 键长为 0.192 7(5)~0.203 0(5) nm。N4-O1-N1-O2 扭转角为 -4.96° , 中心原子周围的键角为 $80.61(19)^\circ$ ~ $93.03(19)^\circ$, 对角线键角为 $166.7(2)^\circ$ ~ $172.1(2)^\circ$; 菲咯啉的 1 个氮原子 N2 位于锥顶, 与邻位原子组成的键角为 $77.1(2)^\circ$ ~ $101.23(19)^\circ$, Cu1-N2 键长为 0.230 4(6) nm。酰胺的噻吩环与苯环的二面角为 9.8° 。酰胺基与水杨基近乎共平面, 扭转角 C13-C18-C19-N4、N4-N3-C20-O1 和 C20-N5-N4-C19 分别为 $0.4(9)^\circ$ 、 $2(1)^\circ$ 和 $179.6(6)^\circ$ 。

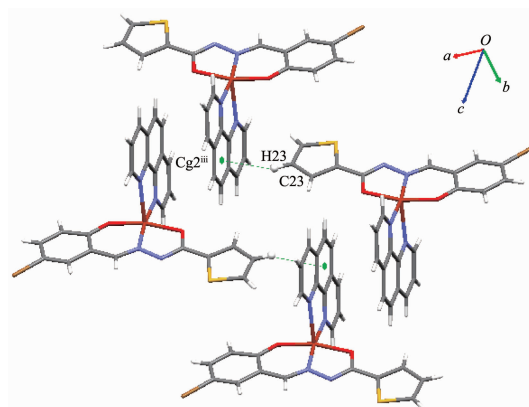
Phen 的所有原子几乎完全共平面, 相邻结构基元的 Phen 相互平行, 存在较强的 π - π 相互作用, 质心间距分别为 $\text{Cg}2 \cdots \text{Cg}2^{\text{i}}$ 0.345 1 nm 和 $\text{Cg}1 \cdots \text{Cg}1^{\text{ii}}$ 0.339 0 nm, 其中, $\text{Cg}1$ 是 N1/C1/C2/C3/C4/C12; $\text{Cg}2$ 是 C4/C5/C6/C7/C11/C12, $\text{Cg}2$ 与 $\text{Cg}2^{\text{i}}$ 及 $\text{Cg}1$ 与 $\text{Cg}1^{\text{ii}}$ 所在平面夹角均为 0.0° , 这种芳环堆积作用将配合物沿 a 轴方向扩展为一维链(图 5); 同时 Phen 的 $\text{Cg}2$ 平面与另一配合物结构基元的酰胺配体的噻吩环之间存在着 C-H... π 类型的次级键(图 6), $\text{C}23\text{-H}23 \cdots \text{Cg}2^{\text{iii}}$ 间距为 0.280 48 nm。于是, 配合物通过分子间的 π - π 作用和 C-H... π 作用形成一种二维超分子网络。



$\text{Cg}1$: N1/C1/C2/C3/C4/C12; $\text{Cg}2$: C4/C5/C6/C7/C11/C12; $\text{Cg}2 \cdots \text{Cg}2^{\text{i}}$: 0.348 07(6) nm; $\text{Cg}1 \cdots \text{Cg}1^{\text{ii}}$: 0.339 0 nm; Symmetry code:
ⁱ $-1-x, 2-y, -1-z$; ⁱⁱ $-2-x, 2-y, -1-z$

图5 配合物2通过 π - π 相互作用形成的一维链

Fig.5 1D chain of 2 formed via π - π stacking interactions



$\text{C}23\text{-H}23 \cdots \text{Cg}2^{\text{iii}}$: 0.280 5 nm, 150°; Symmetry code: ⁱⁱⁱ $-1+x, 1+y, z$

图6 配合物2分子之间的 C-H... π 相互作用

Fig.6 Weak intermolecular C-H... π interaction in 2

2.2 电子吸收光谱

配体及其配合物 DMF 溶液的电子吸收光谱见图 7。酰胺配体 H₂Brsth 在 265 nm 处的吸收带归属为芳环的 $\pi \rightarrow \pi^*$ 电子跃迁; 1 和 2 在 272 和 268 nm

处的强吸收来自 Phen 配体的 $\pi \rightarrow \pi^*$ 电子跃迁。H₂L 在 294 和 306 nm 处一对吸收峰与酚羟基 O、亚胺基 N 和羰基 O 的 $n \rightarrow \pi^*$ 电子跃迁有关, 形成配合物 **1** 和 **2** 后, $n \rightarrow \pi^*$ 电子跃迁分别红移至 312、324 nm 和 324、339 nm。H₂Brsth 在 339 和 405 nm 处的吸收带来自不同能级间的荷移跃迁 (ILCT), 而配合物 **1** 和 **2** 在 405 和 404 nm 的吸收强度与配体相比显著增强, 这是因为配合物的形成增加了酰腙配体的刚性, 而且可能荷移跃迁增添了 L→M 跃迁即 LMCT 成份。

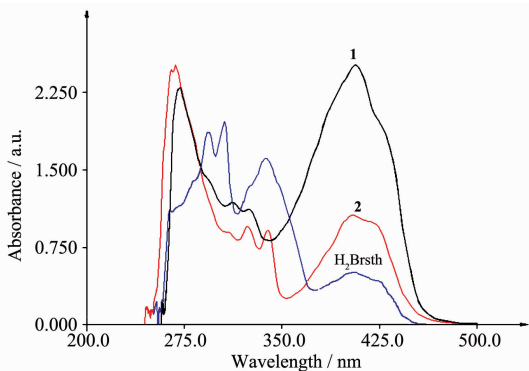
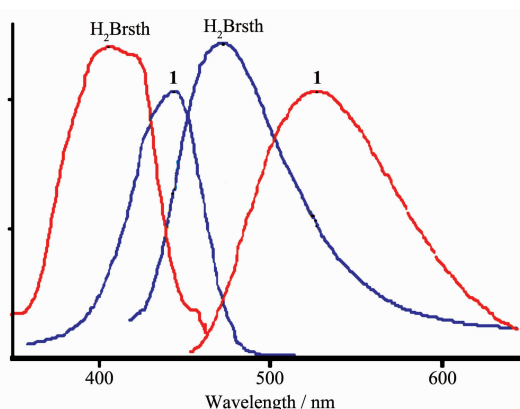


图 7 H₂Brsth 配体及其配合物的紫外可见光谱

Fig.7 UV-Vis spectra of H₂Brsth ligand and the complexes

2.3 荧光光谱

以 DMF 为溶剂考查了化合物的光致发光性能。酰腙配体可发射蓝色荧光, 而酰腙配体由于以烯醇式与 Cd²⁺配位, 增加了配合物 **1** 中的酰腙整个分子的共轭程度, 使发射光向长波位移而发射绿色荧光(图 8)。H₂Brsth 和 **1** 的最大激发波长(λ_{ex})分别为 405 和 443 nm, 最大发射波长(λ_{em})分别为 475 和



H₂Brsth: λ_{ex} 405 nm, λ_{em} 475 nm; **1**: λ_{ex} 443 nm, λ_{em} 525 nm

图 8 H₂Brsth 和 **1** 的荧光光谱

Fig.8 Fluorescence spectra of H₂Brsth and **1**

525 nm。具有顺磁性的 Cu²⁺则对配体的荧光产生了淬灭作用。

2.4 热稳定性

在 N₂ 气氛中以 10 °C·min⁻¹ 升温速率考察了化合物的热分解行为(图 9)。3 个化合物在室温至 800 °C 范围的分解均分为两阶段进行, 配合物的热稳定性与酰腙配体相比显著提高。H₂Brsth 从 252 °C 开始分解, 至 321.4 °C 快速失重 58.39%; 之后缓慢分解, 至 800 °C 残重 10.02%。配合物 **1** 从 348 °C 开始分解, 并快速失重, 至 405 °C 失重 28.42%, 相当于失去 2 个菲咯啉分子 (理论计算值 29.24%); 配合物 **2** 从 282 °C 开始分解, 至 460 °C 快速失重 47.80%, 相当于失去 1 个菲咯啉和噻吩残片 (理论计算值 46.4%)。至 800 °C, **1** 和 **2** 的残重分别为 34.79% 和 33.39%。

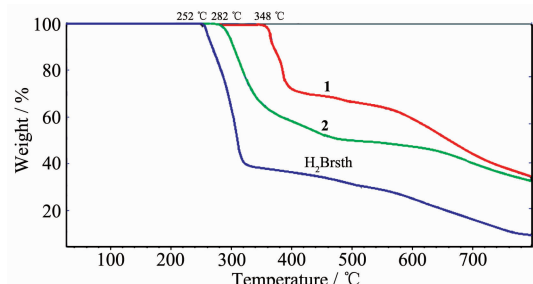


图 9 化合物的热重分析图

Fig.9 TGA curves of H₂Brsth ligand and the complexes

参考文献:

- [1] You Z L, Shi D H, Zhang J C, et al. *Inorg. Chim. Acta*, **2012**, *384*(1):54-61
- [2] HUO Yong-Qian(霍涌前), WANG Sheng-Wen(王升文), CUI Hua-Li(崔华莉), et al. *Chinese J. Inorg. Chem.*(无机化学学报), **2010**, *26*(7):1274-1478
- [3] Ebrahimipour S Y, Khabazadeh H, Castro J, et al. *Inorg. Chim. Acta*, **2015**, *427*(1):52-61
- [4] CHEN Yan-Min(陈延民), JIANG Xia(江霞), CHEN Guang-Hui(陈广慧), et al. *Chinese J. Inorg. Chem.*(无机化学学报), **2015**, *31*(11):2159-2166
- [5] WEI Tai-Bao(魏太保), LENG Yan-Li(冷艳丽), WANG Yong-Cheng(王永成), et al. *Chinese J. Org. Chem.*(有机化学), **2009**, *29*(2):216-221
- [6] XIE Qing-Fan(解庆范), GAO Ping-Zhang(高平章), CHEN Yan-Min(陈延民), et al. *Chinese J. Inorg. Chem.*(无机化学学报), **2014**, *30*(10):2382-2388
- [7] Khandar A A, Afkhami F A, Hosseini-Yazdi S A, et al. *Inorg. Chim. Acta*, **2015**, *427*:87-96

- [8] Yi L J, Xu G C, Zhang L, et al. *Inorg. Chem. Commun.*, **2014**,**45**:36-39
- [9] HUANG Chao(黄超), WU Juan(吴娟), LIN Dong-Mei(林冬梅), et al. *Chinese J. Inorg. Chem.*(无机化学学报), **2015**,**31**(1):109-113
- [10] Ying S M. *Inorg. Chem. Commun.*, **2012**,**22**:82-84
- [11] Zheng C Z, Wang L, Liu J. *J. Mol. Struct.*, **2012**,**1018**(27):78-83
- [12] Ying S M. *Inorg. Chim. Acta*, **2012**,**387**(30):366-372
- [13] Sluis P V D, Spek A L. *Acta Cryst.*, **1990**,**A46**:194-201
- [14] Müller P, Herbst-Irmer R, Spek A L, et al. *Crystal Structure Refinement-A Crystallographer's Guide to SHELXL*. New York: Oxford University Press, **2006**:63-96
- [15] Sheldrick G M. *SHELXTL, Program for X-ray Crystal Structure Solution and Refinement*, University of Göttingen, Germany, **1997**.
- [16] Bourhis L J, Dolomanov O V, Gildea R J, et al. *Acta Cryst.*, **2015**,**A71**:59-75